

الانكسار المضاعف الضوئي للوسط المعرض بواسطة حزمة ضوئية ليزروية عالية الطاقة

الدكتور أنور الدويري *

(قبل للنشر في 1995/11/7)

□ الملخص □

تتركز الأفكار الأساسية الواردة في هذا البحث حول الإبداعات الفيزيائية والتقنية الجديدة التي وجدت نتيجة اختراع الليزر، ستجه الاهتمام إلى دراسة الانكسار المضاعف المعرض بنبضة ليزروية نصف عرضها الطيفي 15ns صادرة عن ليزر ياقوتي نبضي والمحلل بواسطة حزمة ليزروية أرغونية مستمرة.

واعتماداً على هذه الدراسة من أجل السوائل المدروسة نحسب الوسطاء الجزيئية التالية: ثوابت الانكسار المضاعف، الاستقطاب الفعال، والانكسار الجزيئي. ومن خلال دراسة العلاقة الحرارية للانكسار المضاعف الضوئي نحدد العلاقة الحرارية لاختلاف المناخي الجزيئي ونحسب القيمة الوسطى لفوق الاستقطاب الضوئي ثنائي المرتبة.

* مدرس في قسم الفيزياء - كلية العلوم - جامعة تشرين - اللاذقية - سوريا.

Optically Induced Birefringence by High Optical of a Laser Beam

Dr. Anwar AL-DOIARI*

(Accepted 7/11/1995)

□ ABSTRACT □

The main theme of this paper will concentrate on the new physical and technical ideas generated by lasers. We will draw the attention to the study of optically induced birefringence by a 15 ns ruby laser pulse and analyzed by means of a cw argon laser beam.

On the basis of this study we calculated the following molecular parameters of the liquids studied: the molar birefringence constants, the effective optical polarizability, and molar refraction. From the study of temperature dependence of optical birefringence we determined the temperature dependence of the effective molecular anisotropy and calculated the mean value of the second order optical hyperpolarizability.

* Lecturer at Physics Department, Faculty of Science, Tishreen University, Lattakia, Syria.

1- مقدمة:

من المعروف أن الخواص الضوئية للأجسام، المعرضة لتأثير حقل كهربائي قوي تخضع للتغيرات، حيث يمكن أن تحدث هذه التغيرات في الأجسام الضوئية متماثلة المناخي (غازات، سوائل، أجسام صلبة) كما يمكن أن تحدث أيضاً في البلورات التي لها صفات اختلاف المناخي الضوئي.

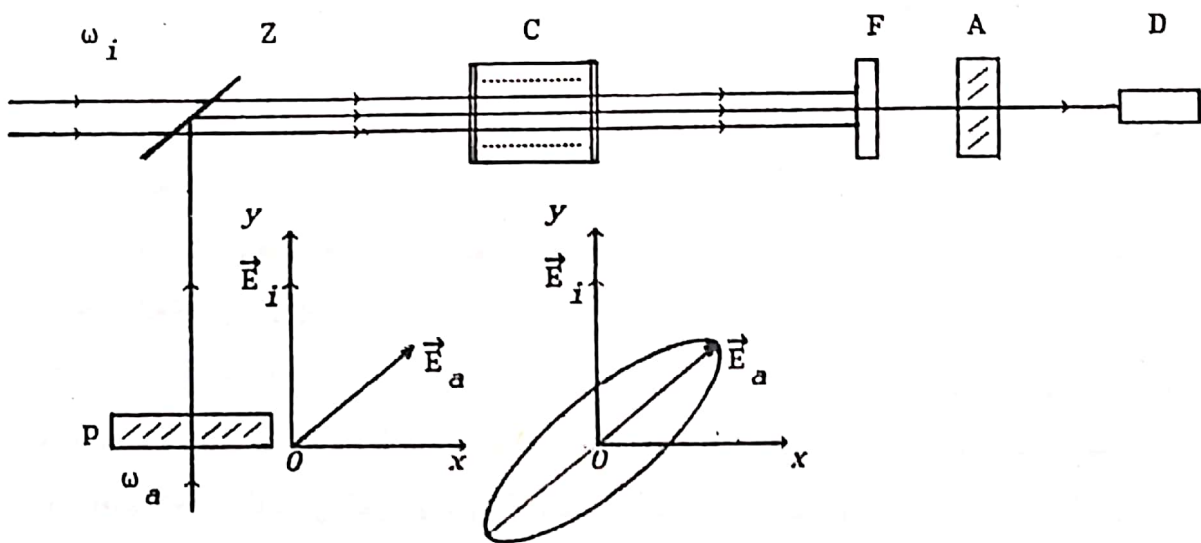
لقد لاحظ ظاهرة الانكسار المضاعف المحرض بوساطة حقل كهربائي لأول مرة في الزجاج العالم كير [1]Keer في عام 1875. إن معيار الانكسار الضوئي المحرض عبارة عن الفرق Δn_{\parallel} بين قرائن انكسار الضوء من أجل الاهتزازات الضوئية الموازية (n_{\parallel}) والعمودية (n_{\perp}) على اتجاه الحقل الكهربائي الخارجي E . وهي إحدى الظواهر التي يمكن بوساطتها تحديد المقاييس الميكروسكوبية المميزة للخواص الضوئية والكهربائية لذرات وجزيئات الوسط المدروسان، وصياغة النتائج المتعلقة أيضاً بالتأثيرات المتبادلة بين الجزيئات.

إن أول اختبار ضوئي لظاهرة الانكسار المضاعف، المعروفة أيضاً بظاهرة كير الضوئية Keer Mayer Gires [2]. حيث استخدما في هذا الاختبار حزمة محرضة للانكسار المضاعف طول موجتها $\lambda_1 = 694.3\text{nm}$ ، متولدة عن ليزر ياقوتي ومقاسة (محالة) بوساطة حزمة ضوئية موجتها $\lambda_2 = 500\text{nm}$.

لقد استخدمت في البداية نبضات ليزرية من مرتبة النانو ثانية لتحريض ظاهرة OKE مع منابع ضوء كلاسيكية أو منابع ليزرية لتحليلها، وفيما بعد نجح استخدام نبضات الليكوثانية والفييمتوثانية في تحريض ظاهرة OKE وحزم ضوئية ليزرية مستمرة في تحليتها.

2- طريقة قياس الانكسار المضاعف الضوئي المحرض للوسط:

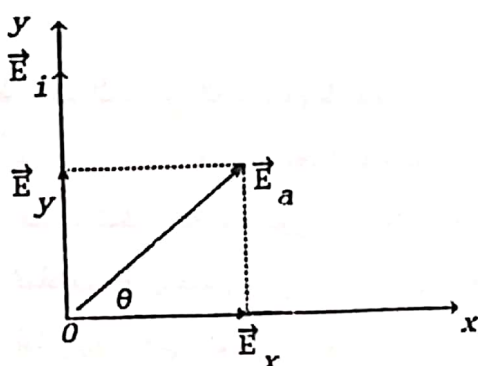
لنفرض أنه على سائل متماثل المناخي تسقط فقط الحزمة الضوئية الليزرية ذات التواتر الزاوي ω والمستقطبة خطياً. تدخل الحزمة عبر السائل C والمرشح F وتتطقى بواسطة المحل A المتعامد مع المقطب P. يمتص المرشح فقط الحزمة الليزرية ذات التواتر الزاوي ω المحرضة للظاهرة. إذا وجهنا على السائل حزمة ضوئية شديدة مستقطبة خطياً ومحرضة للانكسار المضاعف عندئذٍ فإن استقطاب الحزمة المحالة بعد الانتقال عبر الخلية يتغير من خطى إلى إهليجي كما في الشكل (1).



الشكل (1): الانكسار المضاعف للوسط المحرض بشعاع ليزري عالي الطاقة

C السائل المدروس، F مقطب، P مرشح، D محلل، Z مكشاف، \vec{E}_i شعاع الحقل الكهربائي للحزمة المحللة ذات التواتر الزاوي ω_i . \vec{E}_a شعاع الحقل الكهربائي للحزمة المحرضة ذات التواتر الزاوي ω_a .

نستطيع الآن إثبات هذه الظاهرة تحليلياً كما يلي: لنفرض أن الحزمة الليزرية المحرضة مستقطبة خطياً وفق المحور oy كما في الشكل (2).



الشكل (2)

والحزمة الضوئية الليزرية المحللة مستقطبة خطياً وفق منحى يصنع الزاوية θ مع المحور ox، لنفرض أن:

$$E_z = E_0 \cos \omega_z t \quad (1)$$

حيث: E_0 سعة الحزمة المحللة، t الزمن، ولتكن \vec{E}_x و \vec{E}_y مركبات الحقل \vec{E} في الجملة oxy التي تكتب على الشكل:

$$\left. \begin{array}{l} E_x = E_0 \cos \theta \\ E_y = E_0 \sin \theta \end{array} \right\} \quad (2)$$

وإذا أخذنا بعين الاعتبار العلاقة (1) نجد:

$$\left. \begin{array}{l} E_x = E_0 \cos \theta \cos \omega_z t \\ E_y = E_0 \sin \theta \cos \omega_z t \end{array} \right\} \quad (3)$$

لتكن $n_{||}$ و n_{\perp} قرائن انكسار الضوء المحلل في الوسط المدروس والمستقطب خطياً على التوالي بشكل موازي وعمودي على المحور oy ، ولتكن ℓ_0 المسافة التي يقطعها الضوء في هذا الوسط، لذلك فإن أزمنة انتقال الضوء عبر الوسط بشكل موازي وعمودي على المحور oy تساوي على التوالي:

$$\left. \begin{array}{l} t_1 = \frac{\ell_0}{v_{||}} = \frac{\ell_0}{C/n_{||}} = \frac{\ell_0 n_{||}}{C} \\ t_2 = \frac{\ell_0}{v_{\perp}} = \frac{\ell_0}{C/n_{\perp}} = \frac{\ell_0 n_{\perp}}{C} \end{array} \right\} \quad (4)$$

حيث $v_{||}$ و v_{\perp} عبارة عن سرعة الضوء المستقطب على التوالي بشكل موازي وعمودي على المحور oy C سرعة الضوء في الخلاء.

نستطيع الآن بالاستفادة من مجموعة العلاقات (3) و (4) حساب قيم المركبات E_x

و E_y عند الخروج من الخلية:

$$\left. \begin{array}{l} E_x = E_0 \cos \theta \cos(\omega_z \ell_0 n_{\perp} / C) \\ E_y = E_0 \sin \theta \cos(\omega_z \ell_0 n_{||} / C) \end{array} \right\} \quad (5)$$

إذاً بعد الخروج من الخلية يوجد فرق في الطور φ بين المركبات المستقطبة والمتعامدة فيما بينها أي:

$$\left. \begin{array}{l} E_x = E_0 \cos \theta \cos(\omega_z t + \varphi) \\ E_y = E_0 \sin \theta \cos \omega_z t \end{array} \right\} \quad (6)$$

بالاستفادة من العلاقات (5) نحصل على فرق الطور φ ويساوي:

$$\varphi = \omega_a \frac{\ell_0 n_{||}}{C} - \omega_a \frac{\ell_0 n_{\perp}}{C} = \frac{2\pi}{\lambda_a} (n_{||} - n_{\perp}) \ell_0 \quad (7)$$

حيث λ_a طول موجة الحزمة المحللة. بحذف الزمن t من العلاقات (6) نحصل على معادلة القطع الناقص:

$$\frac{E_x^2}{\cos^2 \theta} + \frac{E_y^2}{\sin^2 \theta} - \frac{2E_x E_y \cos \varphi}{\sin \theta \cos \theta} = (E_0 \sin \varphi)^2 \quad (8)$$

نلاحظ أن هذه العلاقة تقبل أبسط شكل، عندما $\cos \theta = \sin \theta$ وبالتالي من أجل $\theta = 45^\circ$ نحصل على العلاقة التالية:

$$E_x^2 + E_y^2 - 2E_x E_y \cos \varphi = \frac{1}{2} (E_0 \sin \varphi)^2 \quad (9)$$

لتكن OXY جملة محورين إحداثيين جديدين ناتجين عن دوران محوري الجملة القديمة oxy بالزاوية $\theta = 45^\circ$ ، لذلك فإننا نجد اعتماداً على علاقات دوران المحاور:

$$E_x = E_X \cos \theta - E_Y \sin \theta$$

$$E_y = E_X \sin \theta + E_Y \cos \theta$$

وبالتالي فإن:

$$\left. \begin{aligned} E_x &= (E_X - E_Y) / \sqrt{2} \\ E_y &= (E_X + E_Y) / \sqrt{2} \end{aligned} \right\} \quad (10)$$

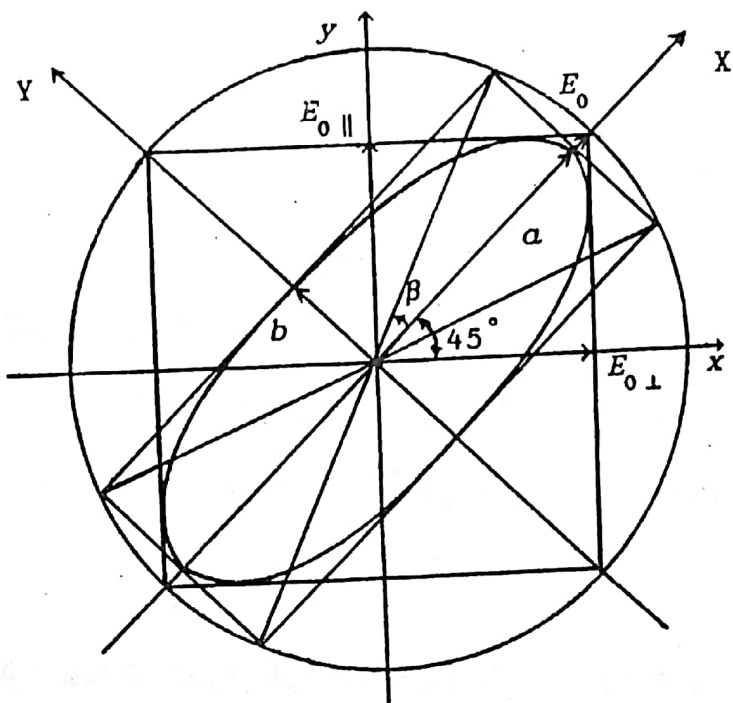
بتعييض مجموعة العلاقات (9) في جملة الإحداثيات الجديدة OXY على العلاقة التالية:

$$2E_X^2(1 - \cos \varphi) + 2E_Y^2(1 + \cos \varphi) = (E_0 \sin \varphi)^2$$

أو

$$\frac{E_X^2}{\left(E_0 \cos \frac{\varphi}{2}\right)^2} + \frac{E_Y^2}{\left(E_0 \sin \frac{\varphi}{2}\right)^2} = 1 \quad (11)$$

نستنتج من ذلك أنه إذا كانت الأشعة الكهربائية للحرمة المحرضة والمحللة تصنف فيما بينها زاوية 45° فإنه عند الخروج من الخلية يصبح الضوء مستقطباً بشكل إهليجي كما في الشكل (3). لتكن E_0 سعة اهتزاز الضوء الخارج من المقطب P. ينقسم الشعاع الضوئي المار عبر وسط الاهتزاز إلى شعاعين: شعاع عادي ذو سعة اهتزاز $E_{0\perp}$ وآخر شاذ ذو سعة اهتزاز $E_{0\parallel}$.



(الشكل (3)

مع العلم أن كل شعاع من الشعاعين مأخوذ بمفرده هو شعاع مستقطب خطياً، إلا أن اتجاهي الاهتزازتين متعمدان، وكلاهما يتبع المسار نفسه إلا أنهما يسيران بسرعتين مختلفتين داخل السائل. ولدي بروزهما من الخلية مختلف طور الشعاعين وينتج عنهم ضوء مستقطب إهليجيًّا. نلاحظ أن أطوال أنصاف محاور القطع الناقص تساوي:

$$a = E_0 \cos \frac{\varphi}{2}, \quad b = E_0 \sin \frac{\varphi}{2}$$

ويمكنا بتدوير المحل بزاوية β أن نجد له وضعًا ينعدم فيه الضوء النافذ من الخلية تماماً وهذه الزاوية ترتبط مع الزاوية φ بالعلاقة:

$$\operatorname{tg} \beta = \frac{b}{a} = \frac{E_0 \sin \frac{\varphi}{2}}{E_0 \cos \frac{\varphi}{2}} = \operatorname{tg} \frac{\varphi}{2}$$

أو

$$\beta = \frac{\varphi}{2} \quad (12)$$

تعين شدة الضوء I المار عبر المحل A بوساطة مربع سعة الاهتزازات الموققة لاتجاه توضع المحل. وبشكل خاص عندما يكون المحل متصالباً مع المقطب P فإن شدة الضوء تعطى بالعلاقة:

$$I_{\perp} = b^2 = E_0^2 \sin^2 \frac{\varphi}{2} = I_0 \sin^2 \frac{\varphi}{2} \quad (13)$$

وعندما يكون المحل A عند المخرج موازياً للمقطب P , فإن شدة الضوء تساوي:

$$I_{\parallel} = a^2 = E_0^2 \cos^2 \frac{\varphi}{2} = I_0 \cos^2 \frac{\varphi}{2} \quad (14)$$

بالاستناد من العلاقات (13) و(14) نحصل على العلاقة:

$$\frac{I_{\perp}}{I_{\parallel}} = \tan^2 \frac{\varphi}{2} = \tan^2 \beta \quad (15)$$

نستطيع من هذه العلاقة حساب الزاوية β وفرق الطور φ وذلك بقياس شدة الضوء I_{\perp} و I_{\parallel} .

3- ثوابت الانكسار المضاعف الضوئي للوسط المحرض بشعاع ليزري عالي الطاقة:
لقد تم تحديد ثابت الانكسار المضاعف تجريرياً وفق العلاقة التالية:

$$B(\lambda_i, \lambda_e) = \frac{n_i(\lambda_i) - n_e(\lambda_e)}{\lambda_e \langle E(\lambda_i) \rangle^2} \quad (16)$$

حيث $(n_i(\lambda_i), n_e(\lambda_e))$ قرائن انكسار الضوء من أجل اهتزاز شعاع الحقل الكهربائي للحزمة الليزرية المحلة للظاهرة (ذات طول الموجة λ_e) الموازية والعمودية على التوالي على اهتزاز شعاع الحقل الكهربائي $E(\lambda_i)$ للحزمة المحرضة لظاهرة الانكسار المضاعف (ذات طول الموجة λ_i), أما المقدار $\langle E(\lambda_i) \rangle^2$ فيمثل شدة الحزمة المحرضة. يصف هذا الثابت الخواص الماكروسโคبية للوسط، بينما المسؤول عن خواص الوسط الميكروسโคبية فهو ثابت الانكسار المضاعف الجزيئي $B_m(\lambda_e, \lambda_i)$, الذي يتعلق بالوسطاء التي تصنف ذرات وجزيئات الوسط المدروس. فمن أجل الأوساط الكثيفة يرتبط هذان الثابتان وفق العلاقة التالية [3,4,5]:

$$B_m(\lambda_e, \lambda_i) = 54 n_i(\lambda_i) M B \left(\frac{n_i^2 + 2}{n_i^2 + 2} \right)^2 d^{-1} \quad (17)$$

حيث M الكثافة الجزيئية للوسط المدروس و d كثافته المطلقة.

تعلق القرائن المعينة تجريرياً وثبت الانكسار المضاعف الضوئي الجزيئي بنموذج الحقل الداخلي المطبق على الجزيئ و بطريقة تحديد الطاقة الكامنة للجزيء المعرضة لتأثير

الحقل الضوئي ($E(\lambda_i)$). لقد فرضنا في العلاقة (17) أن الحقل الداخلي F معين حسب تفريغ لورانتز [6] من أجل تجويفه كروية بالعلاقة:

$$F = \frac{n_i^2 + 2}{3} E(\lambda_i) \quad (18)$$

يؤخذ الفرق بين الحقل الخارجي والحقول الداخلي في ظاهرة الانكسار المضاعف المحرض مرتين: الأولى عند دراسة تصرف الذرات والجزيئات في الحقل الضوئي والثانية عند دراسة الانكسار المضاعف للجزمة المحللة، وهذا سبب ظهور عامل لورانتز في العلاقة (17) مرتين:

إذا أخذنا معين الاعتبار في المقاييس الماكروسโคبي الظواهر الجزيئية التي تؤدي إلى حدوث الانكسار المضاعف المحرض للوسط، فإنه يمكن كتابة الثابت B_m على شكل مجموع ثلاثة حدود [7, 8, 9, 10]:

$$B_m(\lambda_a, \lambda_i) = B_m^{NL}(\lambda_a, \lambda_i) + B_m^{RT}(\lambda_a, \lambda_i) \quad (19)$$

يحدد الأول المساهمة في OKE الناتجة عن تشوه الغمامنة الإلكترونية اللاخطية للذرات أو الجزيئات في الحقل الضوئي ويحدد الثاني مساهمة اتجاهاتها في هذا الحقل أما الثالث فيعبر عن مقدار ما تزود به OKE من توزع جديد للذرات أو الجزيئات في الوسط المعطى. بما أنه لا يمكن قياس قيم الحدود المستقلة B_m^{OR} و B_m^{RED} المرتبطة بالاتجاه الجديد وانتقال الجزيئات في الحقل الضوئي تجريبياً، لذلك يجب أن نفرض $B_m^{OR} + B_m^{RED} = B_m^{RT}$ كون الثابت B_m^{RT} مقدار قابل للقياس تجريبياً وهذا يبسط العلاقة (19) إلى الشكل:

$$B_m(\lambda_a, \lambda_i) = B_m^{NL}(\lambda_a, \lambda_i) + B_m^{RT} + (\lambda_a, \lambda_i) \quad (20)$$

يتعلق المقدار B_m^{NL} بالخواص اللاخطية للذرات أو الجزيئات المحددة بواسطة تتسرور فوق الاستقطاب ثانية المرتبة $C_{\alpha\beta\gamma\delta}$ [11, 12] وبالتالي تأثيرات بين الجزيئات التي تلعب دوراً هاماً في العمليات اللاخطية لتشوه الغمامنة الإلكترونية حتى في الأوساط الغازية أحادية الذرة، المعروفة بظاهرة التشوه اللاخطي لفوينكت (Voigt) لذلك يمكن أن نكتب بشكل عام [13]:

$$B_m^{NL}(\lambda_a, \lambda_i) =_0 B_m^{NL} + {}_{odd} B_m^{NL} \quad (21)$$

حيث يمثل الحد الأول ظاهرة فويك特 Voigt في الحالة التي من أجلها لا تحدث في الوسط تأثيرات متبادلة، بينما جميع أنواع التأثيرات المتبادلة يمكن التعبير عنها بالحد الثاني من العلاقة (21). إذا أهلنا تبدد تتسرور الاستقطاب الضوئي الخطى $C_{\alpha\beta}$ وتتسور فوق الاستقطاب ثانية المرتبة وفرضنا قيمته الوسطى $C = \frac{1}{5} C_{\alpha\beta\alpha\beta}$ عند نجد:

$${}_{0} B_m^{NL} = \frac{4}{9} \pi N_A C \quad (22)$$

حيث N_A عدد أفوكادرو. إن تأثير المقدار B_m^{NL} على الثابت (λ_e, λ_i) يختلف باختلاف نوع السائل المدروس ويمكن أن يساوي بضع إلى عدة عشرات بالمئة [14] من أجل السوائل المؤلفة من جزيئات ذات عزوم كهربائية ثابتة وغير كبيرة (بشكل رئيسي ثانيات أقطاب ورباعيات أقطاب) والمتميزة باختلاف مناهي ضوئي صغير، وبتقريب أولي يمكننا إهمال تأثير التفاعلات بين الجزيئات على B_m^{NL} عند تتباطط العلاقة (21) إلى الشكل:

$$B_m^{NL}(\lambda_e, \lambda_i) = \frac{4}{9} \pi N_A C \quad (23)$$

يصف الثابت $B_m^{RT}(\lambda_e, \lambda_i)$ ظاهرة الاتجاه الجديد للجزئيات في الحقل الضوئي (ظاهرة لانجيفان Langevin [15]) وتتأثر الظواهر الإحصائية-الجزئية على OKE وبشكل عام نستطيع أن نكتب:

$$B_m^{RT}(\lambda_e, \lambda_i) = \frac{4\pi N_A}{45kT} \Gamma^2(\lambda_e, \lambda_i) \quad (24)$$

حيث k ثابت بولتزمان و Γ اختلاف المناخي الضوئي الفعال وهي صفة مميزة لاختلاف المناخي الضوئي الجزيئي للجزئيات المعمورة في السائل. إذا أخذنا بعين الاعتبار ظاهرة فويكت Voigt، عند (عملًا بالفرضيات أعلى المتعلقة بخواص الجزيئات والتآثيرات فيما بينها) يمكن كتابة الانكسار المضاعف للوسط المحرض بحزمة ضوئية ليزرية عالية الطاقة كتابع لدرجة حرارة الوسط المطلقة T وفق العلاقة التالية:

$$B_m(\lambda_e, \lambda_i) = \frac{4}{9} \pi N_A C + \frac{4\pi N_A}{45kT} \Gamma^2(\lambda_e, \lambda_i) \quad (25)$$

وهذا يكتب بالشكل البسيط: $B_m(\lambda_e, \lambda_i) = a + bT^{-1}$ حيث:

$$b = (4\pi N_A / 45k) \Gamma^2(\lambda_e, \lambda_i), \quad a = \frac{4}{9} \pi N_A C \quad (26)$$

إذا درسنا علاقة (λ_e, λ_i) $T \cdot B_m(\lambda_e, \lambda_i)$ بدرجات الحرارة أو $B_m(\lambda_e, \lambda_i)$ بمقلوب درجات الحرارة نستطيع حساب كل من a و b والحصول على قيم B_m^{NL} و B_m^{RT} و C و Γ^2 .

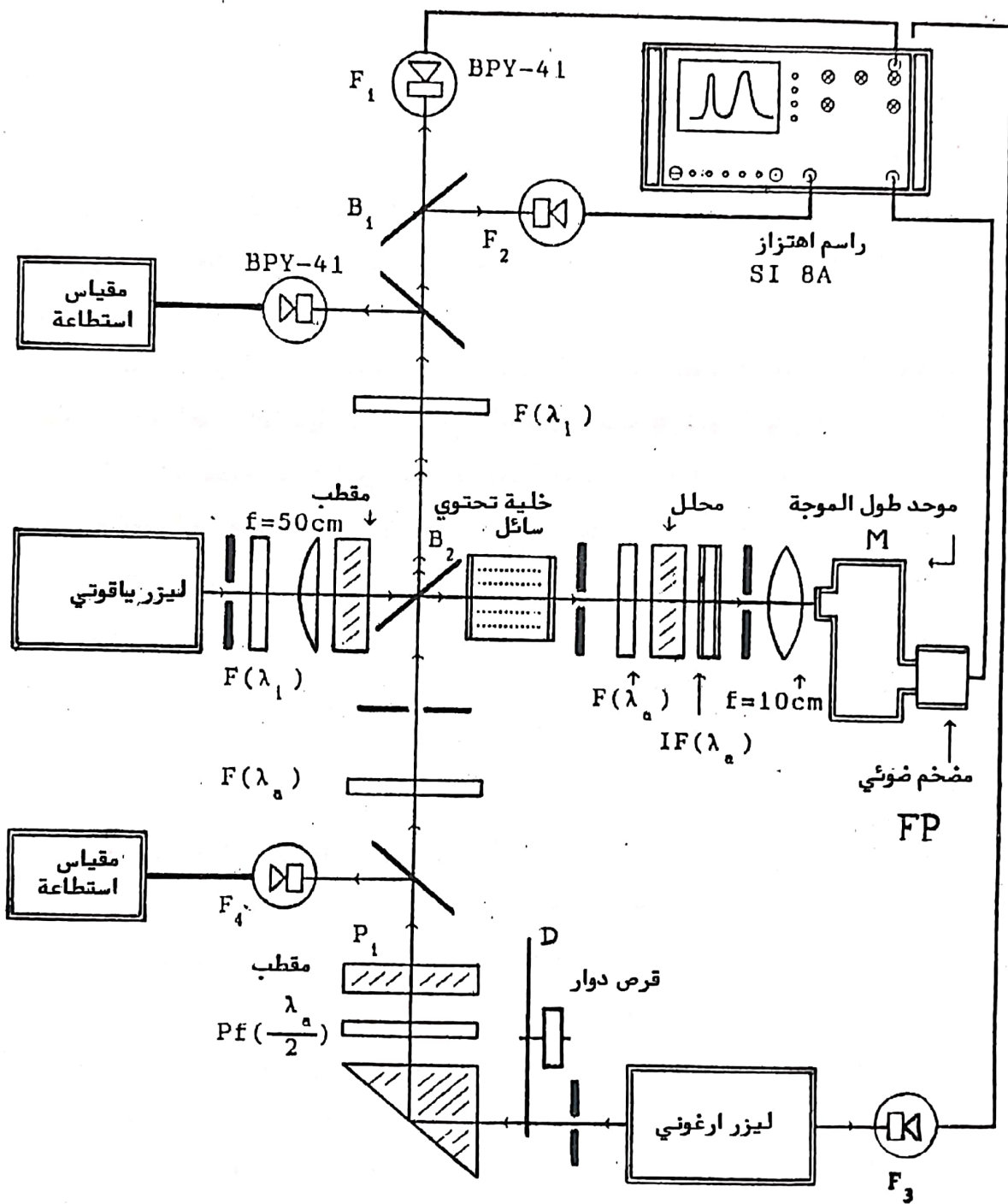
4- أجهزة القياس وطريقة الحساب:

يستخدم لتحليل ظاهرة OKE ليزر أرغوني ذو حزمة مستمرة ذات طول موجة $\lambda = 488nm$ واستطاعتتها حوالي 100mw مستقطبة في المستوى الأفقي لذلك فإن الصفيحة نصف الموجية pf تعيد مستوى الاستقطاب إلى المستوى الشاقولي. بعد ذلك يخضع الاستقطاب إلى عمليات ضبط إضافية بواسطة المقطب P_1 . تمر الحزمة عبر خلية القياس بعد أن تتعكس على صفيحة ضوئية مفرقة B_2 لتصل إلى منظمة الكشف المؤلفة من المحلول A وموحد طول الموجة M والمضخم الضوئي FP الموصول مع القناة الثابتة لراسم النبذة.

يستخدم لتدريب الجملة الكاشفة الترقص الدوار D ذو التقب الصغير الذي يسمح بالحصول على نبضات ليزرية من الحزمة المحللة بزمن استمرار حوالي $25\mu\text{s}$. يحرر خلال عملية التدريب راسم الاهتزاز SI8A بواسطة المكشاف الضوئي F_3 ، كما يوضع في طريق الحزمة المحللة مقاييس استطاعة للمحافظة على شدة الحزمة.

للحصول على نبضات ضوئية ليزرية عملاقة تستخدم التعديلة الخاملاة لجودة المجاوب الضوئي وذلك باستخدام مسحوق الكربون سيانين الذي يذاب في الميتانول، ثم توضع الخلية الحاوية على هذا محلول داخل المجاوب الضوئي للليزر الياقوتي وتحرف قليلاً عن وضع التوازي مع الحزمة الليزرية كي لا يحصل نتيجة الانعكاس على جدرانها إثارة أنماط ليزرية جديدة.

يعطي الليزر الياقوتي النبضي حزمة ضوئية ليزرية نبضية ذات طول موجة 694.3nm وكثافة استطاعتها حوالي 20MW.cm^{-2} ونصف عرضها الطيفي يقارب 15ns تتكرر كل 45s . تجمع حزمة الليزر بواسطة عدسة بعدها المحرقي 50cm الشكل (4)، وتوضع العدسة في مكان بحيث يكون محرقها خارج الخلية الممتئلة بالسائل المدروس.



الشكل (4): مخطط أجهزة القياس المستخدمة في دراسة ظاهرة الانكسار المضاعف الضوئي للوسط المحرض بحزمة ضوئية ليزرية عالية الطاقة.

يطرأ على الاستقطاب الخطي للحزمة الليزرية المحرضة عملية ضبط إضافية بواسطة المقطب G نموذج Glan. تمتص المرشحات $F(\lambda_a)$ و $IF(\lambda_a)$ الحزمة الليزرية المحرضة فقط. يوجه جزء من الحزمة الليزرية المحرضة عبر الصفيحة الضوئية المفرقة B_1 بواسطة مكشاف سريع F_2 الموصول مع القناة الأولى لراس الاهتزاز.

تحدد أولاً العلاقة الحرارية لقائين انكسار الضوء n_i و n_w من أجل المواد المدروسة في مجال معين من درجات الحرارة باستخدام الحزمتين الليزريتين المحللة والمحرضة لظاهرة OKE، ثم تُحدد العلاقة الحرارية لكثافة السوائل المطلقة (d) في مجال درجات الحرارة السابقة. يُنفذ من أجل كل درجة حرارة من 10 إلى 20 قياس للظاهرة وذلك بقياس سعة النبضة المعطاة على رأس الاهتزاز من المضخم الضوئي ثم تُحسب بعد ذلك في درجة حرارة الغرفة قيمة ثوابت الانكسار المضاعف النسبية B_w (بالنسبة للبنزن) اعتماداً على العلاقة التالية:

$$B_w = \frac{n_i \text{ (سائل)}}{n_i \text{ (بنزن)}} \times \frac{\beta \text{ (سائل)}}{\beta \text{ (بنزن)}}$$

حيث β زاوية دوران محلل. أما ثابت الانكسار المضاعف المحرض فيحسب اعتماداً على العلاقة $B = B_0 \cdot B_w = B_0 \cdot 63,2 \cdot 10^{-9} \text{ cm}^2 \cdot \text{erg}^{-1}$ للبنزن، ثم يحسب ثابت الانكسار المضاعف الجزيئي من العلاقة (17) ومن ثم يتم تحديد كل من قيم a و b الواردة في العلاقة (25) وبالتالي يتم تعين قيم B_{m}^{NL} و B_{m}^{RT} و C و T^2 .

5- النتائج والمناقشة:

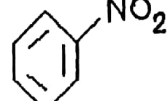
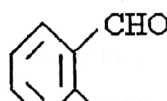
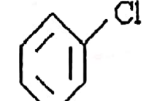
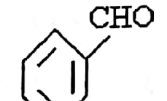
تتمتع المواد السائلة المدروسة بثوابت انكسار مضاعف كبيرة نسبياً بالقياس مع البنزن مما يسهل عملية قياس التغير الحراري لهذه الثوابت. ومن المعروف [16] أن ظاهرة OKE تحدث بشكل كبير في المواد التي تملك جزيئاتها الإلكترونات P المتميزة بحركة كبيرة، وبفضل ذلك يحرض الحقل الكهربائي في هذه الجزيئات عزم ثنائي أقطاب شديد. تتمنى إلى مثل هذه المواد المركبات العطرية، حيث توجد الإلكترونات P في حلقة البنزن، وتعتبر مركبات مؤلفة من جزيئات تحدث فيها روابط كيميائية غير مشبعة، أو روابط ذات صفات الروابط غير المشبعة، مثل رابطة كربون-أكسجين في المركبات الألدهيدية.

لقد بيّنت اختبارات الانكسار المضاعف الضوئي في الحالة السائلة والغازية لمجموعة من المواد أن هذه الظاهرة الموافقة لجزيئنة واحدة أكبر بكثير في الحالة الغازية (التي تكون فيها التأثيرات الجزيئية ضعيفة) منها في الحالة السائلة. ينتج من ذلك أنه عند الاقتراب من الحالة الغازية فإن البنية الأساسية للمادة تخضع للتشوه [17]. يمكن بالاستفاده من هذه الفرضيات أن نتوقع أن انحراف العلاقة الحرارية لـ OKE عن العلاقة T^2 تشهد على

تغيرات اختلاف المناخي الضوئي الفعال (Effective optical anisotropy) لجزئيات الوسط المدروس وبالتالي على تغيرات بنية المادة.

إن الاختبارات الحرارية لظاهرة الانكسار المضاعف المحرض للوسط بحزمة لزريبة عالية الطاقة جعلت من الممكن تحديد المقايير اللاخطية لظاهرة فويك特 Voigt وظاهرة الاتجاه والتوزع الجديد الجزيئي، ومن ثم حساب قيم اختلاف المناخي الضوئي الفعال والقيمة الوسطى لفوق الاستقطاب ثانية المرتبة كما هو مبين في الجدولين (1) و(2)[16,17].

الجدول (1): القيم النسبية B_w والمطلقة B لثوابت الانكسار المضاعف وثابت الانكسار المضاعف الجزيئي محسوبة في الدرجة 20°C .

$B_m \times 10^{12}$ [$\text{cm}^6 \cdot \text{erg}^{-1}$]	$B \times 10^9$ [$\text{cm}^2 \cdot \text{erg}^{-1}$]	B_w	السائل	
86,71	63,2	1,00		1 بنزن
296,86	264,61	4,32		2 نيتروبنزن
337,96	271,95	4,92		3 نيتروبنز أدهيد
176,85	149,55	2,84		4 كلور البنزن
317,92	262,87	4,37		5 كلوربنز أدهيد

الجدول (2): النسبة المئوية لثوابت الانكسار المضاعف اللاخطية B_m^{NL} / B_m ، الاستقطاب اللاخطي C واختلاف المناخي الضوئي الفعال Γ^2 من أجل السوائل المدروسة.

$[B_m^{NL} / B_m] \%$	$\Gamma^2 \times 10^{48}$ $[cm^6]$	$C \times 10^{36}$ $[cm^6 \cdot erg^{-1}]$	السائل	
7,6	15,07	6,17	بنزن	1
4,2	68,95	13,91	نيتروبنزن	2
27,5	27,87	109,82	-2 نيتروبنز ألدهيد	3
7,6	40,32	14,96	كlor البنزن	4
10,8	73,45	39,54	-3 كلوربنز ألدهيد	5

6- الخاتمة:

- 1- يبرز هذا البحث طريقة مبتكرة على الصعيد التطبيقي والنظري في تعين ثوابت فيزياتية جديدة لها أهميتها الواضحة في تحديد ماهية المادة.
- 2- لقد فتحت هذه الدراسة آفاقاً جديدة للليزر وتطبيقاته في مجال الفيزياء والكيمياء.
- 3- إن معرفة ثوابت الانكسار المضاعف الضوئي المحرض لوسط معين ومعرفة أطوال أمواج الحزم الليزرية المستخدمة في قياس هذه الثوابت تؤوننا إلى معرفة الوسط ومعرفة المزيد عن خواصه الفيزيائية والكيميائية.
- 4- إن دراسة تغيرات ثوابت الانكسار المضاعف الضوئي المحرض لوسط بتغيير درجات الحرارة تمكنا من تعين بعض المقادير الفيزيائية اللاخطية.

5- إن البحث في هذا المجال لا يزال في بداياته الأولى ويجب أن يستمر لمتابعة تعيين ثوابت الانكسار المضاعف الضوئي المحرض لمختلف المواد السائلة والغازية ومن ثم تبويبها في جداول خاصة تساهم إلى حد ما في معرفة المزيد عن المادة وبنيتها.

REFERENCES

المراجع

- [1]-J. Kerr, Phil. Mag., 50, 337, 447, 446, (1875); 8, 85, 229 (1879); 13, 153 (1882).
- [2]-G. Mayer, f. Gires, Co. pt. Rend. Acad. Sci., 258, 2039 (1969).
- [3]-S. Kielich, Proc. Phys. Soc., 90, 84 (1967).
- [4]-S. Kielich, I.R. balanne, F. B. Marin, T. physique, 33, 191 (1972).
- [5]-S. Kielich IEEE J, Quantum, Electronics, QE-4, 744 (1968);(1972).
- [6]-H.A. Lorantz, "The Theory of Elictron", Leipzig 1909.
- [7]-S. Keilich, Acta Phy. Polon., 30, 683 (1966); 34, 1093 (1968).
- [8]-A.K. Burnhom, J. Chem. Phys. 73, 4822 (1980).
- [9]-J.F. Reintjes, Nonlinear Optical Parametric processes in liquids and gasses, Academic Pross. Inc., 1984.
- [10]- S. Kielich, J.R. Lalanne, F.B. Nartin, J. Phys. (France) 33, 191 (1972).
- [11]- A. Piekara, "Nowe oblicze optyki", PWN, Warszawa 1968.
- [12]- Langevin, Le Radium, 7, 270 (1910).
- [13]- S. Kielich, S. Woz'niak, Acta Phys. Polon., A39, 233 (1971).
- [14]- S. Kielich, "Molekularna optyka nielimowa", PWN, Qarszawa-Poznan' 1977.
- [15]- S. Wozruak "Spectroskopia wieldofotonowa" pod. red. S. Kielicha, Str. 101, UAM, Poznan', 1981.
- [16]- Z. Blaszczaak and P. Gauden, Europhysics Conference Abstracts; 13D, Part II, P2, 59, Dresden 1992.
- [17]- Z. Blaszczaak, Acta Phys. Polon., A88, 656 (1993).